

# Měření základních parametrů vysokoteplotního plazmatu na tokamaku GOLEM

J. Krbec<sup>1</sup>

<sup>1</sup>České vysoké učení technické v Praze  
Fakulta jaderná a fyzikálně inženýrská

U3V "Fyzika přátelsky / Aplikované přírodní vědy"

## Seznam přednášek

- 1. Teorie: *Termojaderná fúze*
- 2. Teorie: *Tokamak + pomocné systémy*
- 3. Teorie: *Diagnostika plazmatu*
- 4. Experiment: *Měření*
- 5. Experiment: *Zpracování naměřených dat*
- 6. Teorie: *Energetická rovnováha plazmatu*
- 7. Experiment: *Výpočet základních parametrů plazmatu + (vytvoření protokolu z měření)*
- 8. Exkurze: *Tokamak COMPASS*

# Diagnostika plazmatu

## Teplota elektronů

Teplota plazmatu se měří v elektronvoltech eV. Píšíme-li

$$T = 1 \text{ eV},$$

myslíme tím

$$kT = 1 \text{ eV},$$

kde  $k$  je Boltzmannova konstanta. Dosadíme-li za  $k = 8,6 \times 10^{-5} \text{ eV/K}$  dostáváme převodní vztah

$$T = \frac{1 \text{ eV}}{8,617 \times 10^{-5} \text{ eV/K}} = 11605 \text{ K}. \quad (1)$$

## Teplo

Máme-li plazma o hmotnosti  $m$ , tepelné kapacitě  $c$  a změníme-li jeho teplotu o  $\Delta T$ , pak teplo je definováno jako

$$Q = mc\Delta T \text{ [J]}.$$

## Diagnostika

- Magnetická
- Spektroskopická
- Sondová
- Mikrovlnná
- Svazková a částicová

## Tokamak Golem

- Flux loop pro měření napětí na závit  $U_{loop}$
- Cívka pro měření toroidálního magnetického pole
- Rogowského pásek pro měření proudu komorou a plazmatem  $I_{ch} + I_p$
- Mirnovovy cívky pro měření polohy plazmatu
- Saddle coil - cívka pro měření vertikálního magnetického pole

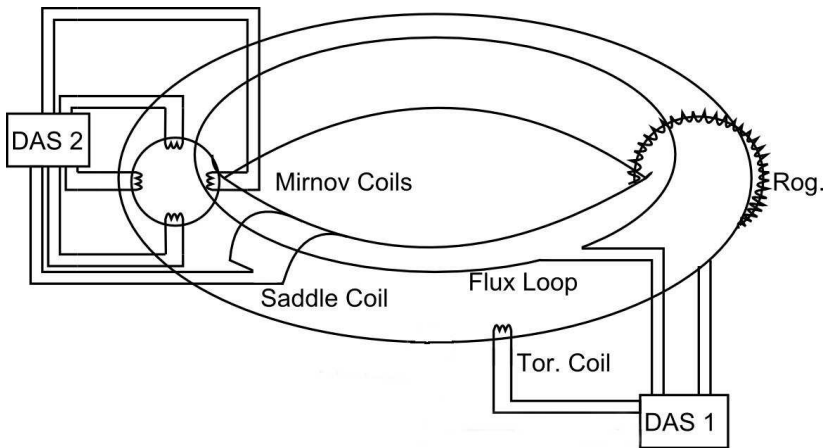
## Pamatuj

Pro určení velikosti magnetického pole je třeba signál z cívek integrovat! Faradayův zákon elektromagnetické indukce zní

$$U = -N \frac{\Delta BS}{\Delta t}$$

kde  $N$  je počet závitů cívky,  $B$  velikost magnetické pole,  $S$  plocha cívky kolmá na mag. pole a  $t$  je čas.

## Osazení magnetických diagnostik



## Měření napětí na závit - flux loop

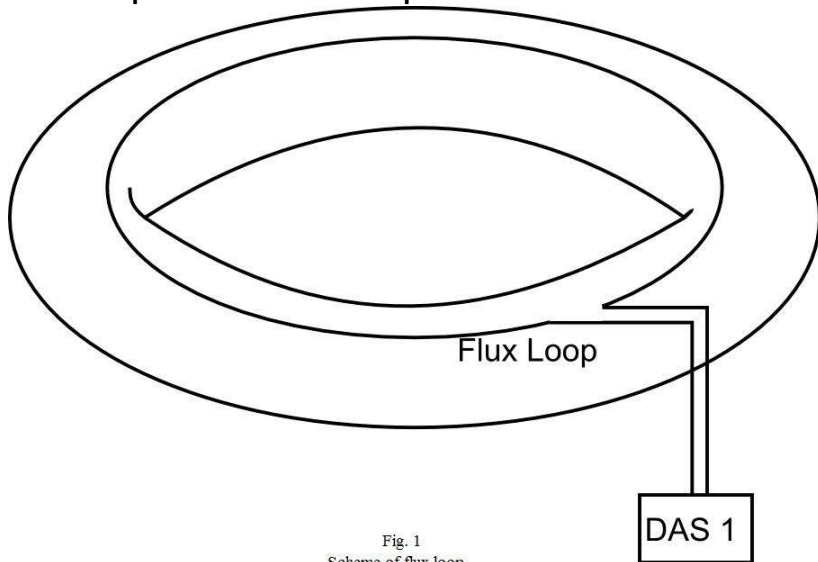


Fig. 1  
Scheme of flux loop.

## Rogowského pásek

- pojmenována po Walteru Rogowskim [DE]
- měření střídavých proudů (AC)
- možnost měření velikých proudů  $> \text{kA}$
- používána v kleštvých ampérmetrech
- na české wikipedii chybný náčrt !!

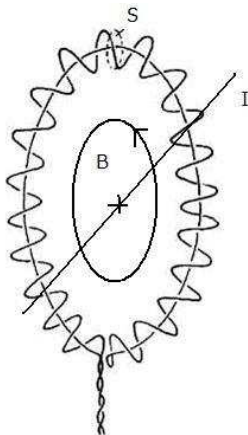


Fig. 1

Scheme of Rogowski coil.

## Měření odporu komory

Průběh napětí na závit pro vakuový výstřel je dán rovnicí

$$U_I(t) = R_{ch} \cdot I_{tot}(t), \quad (2)$$

kde  $R_{ch}$  je odpor komory a  $I_{tot}$  je celkový proud změřený Rogowského páskem.

## Měření proudu plazmatem

Celkový měřený proud je součtem proudu plazmatem a proudu komorou

$$I_{tot}(t) = I_{pl}(t) + I_{ch}(t) \quad (3)$$

ze znalosti odporu komory lze určit proud komorou. Proud plazmatem je dán vztahem

$$I_{pl}(t) = I_{tot}(t) - U_I(t)/R_{ch} \quad (4)$$

## Mirnovovy cívky

- Z rozdílu hodnot magnetického pole mezi dvojicí cívek lze určit polohu středu plazmatu v přiblížení proudového vodiče

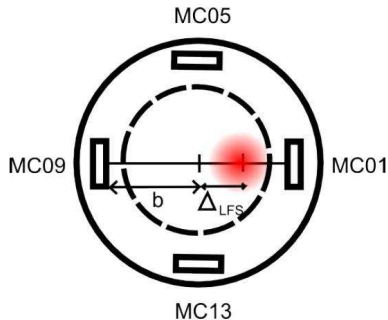


Fig. 1

Locations of Mirnov coils with misplaced plasma column represented by red, fading circle. Limiter is represented by dashed, circular line.

## Plazma je opticky tenké prostředí

Zanedbatelná absorpce ve viditelné, ultrafialové a měkké rentgenové oblasti spektra

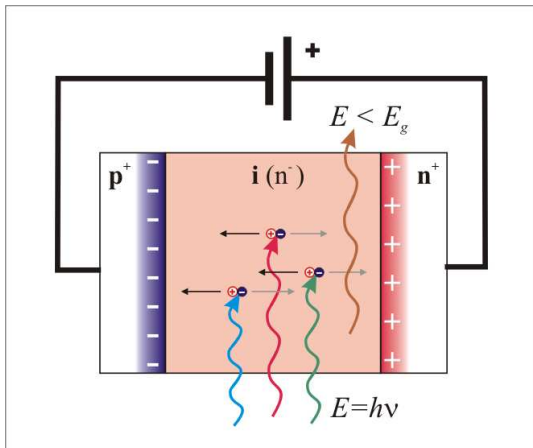
## Tokamak Golem

- Fotodioda +  $H_{\alpha}$  filtr
- CCD kamera
- Scintilační detektor pro detekci tvrdého rentgenového záření (HXR)

## Tokamak COMPASS

- Detekce měkkého rentgenového záření (SXR)
- Diagnostika Thomsonova rozptylu pro měření hustoty a teploty elektronů

# Fotodioda



- Kamera Casio EX-F1
- Počet snímků za vteřiny  
336x96@1200 fp/s
- Využití závěrky typu rolling-shutter a symetrie plazmatu k dosažení 40000 řádků/s

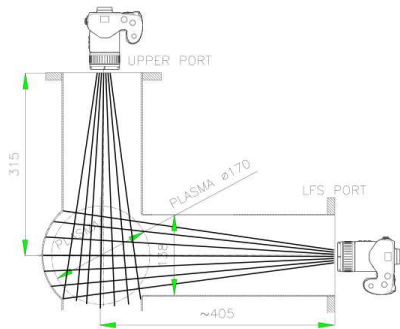


Figure 3: Poloidal cross-section of the tokamak GOLEM and the positions of the cameras during observation of plasma for tomographic reconstruction.

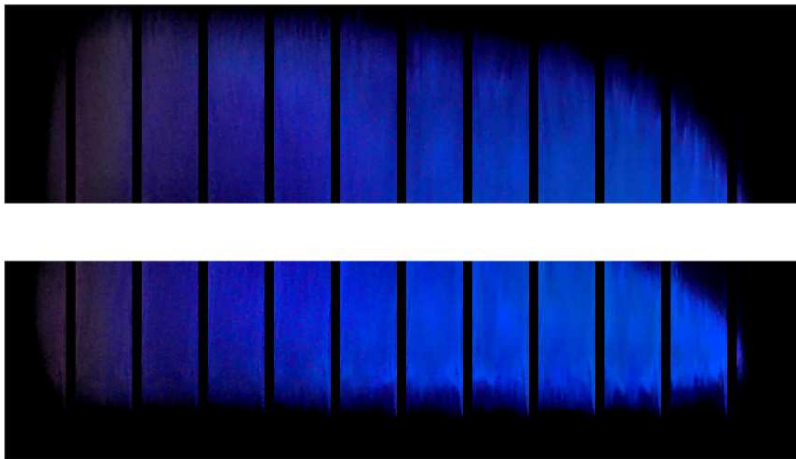


Figure 8: Raw data acquired from the cameras. The upper pictures are taken from the upper camera (Fig. 3) and the lower pictures from LFS the camera.

Scintilační detektor + zdroj vysokého napětí + analyzátor pulsů  
Možnost detekce runaway elektronů



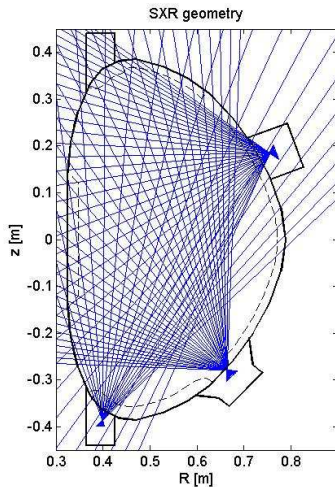
# Detekce měkkého rentgenového záření (SXR)

Křemíkový detektor



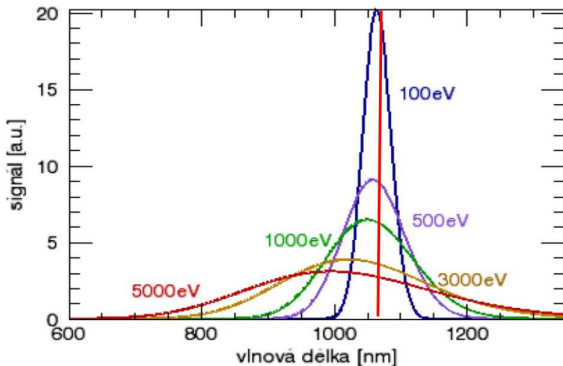
# Detekce měkkého rentgenového záření (SXR)

## Tomografie SXR

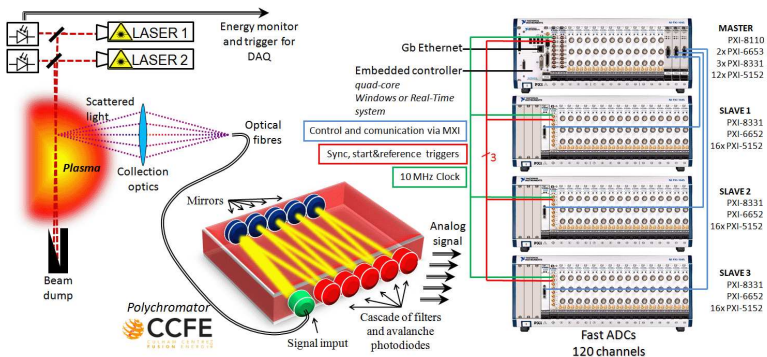


## Měření teploty a hustoty elektronů

- Dochází k rozšíření spektra monochromatického záření vlivem Dopplerova jevu
- Měření teploty z rozšíření spektra rozptýleného záření
- Měření hustoty z intenzity rozptýleného záření

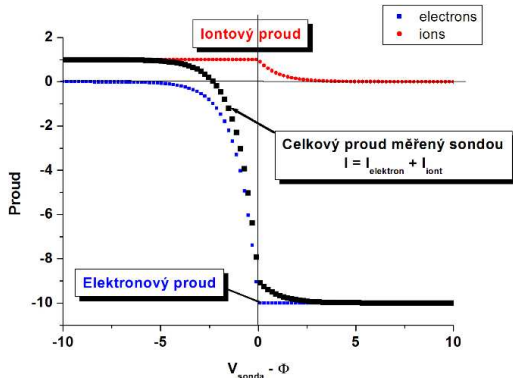


# Diagnostika Thomsonova rozptylu - geometrie

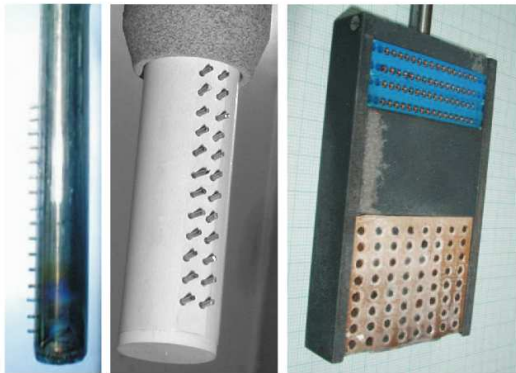


## Měření volt-ampérové charakteristiky plazmatu

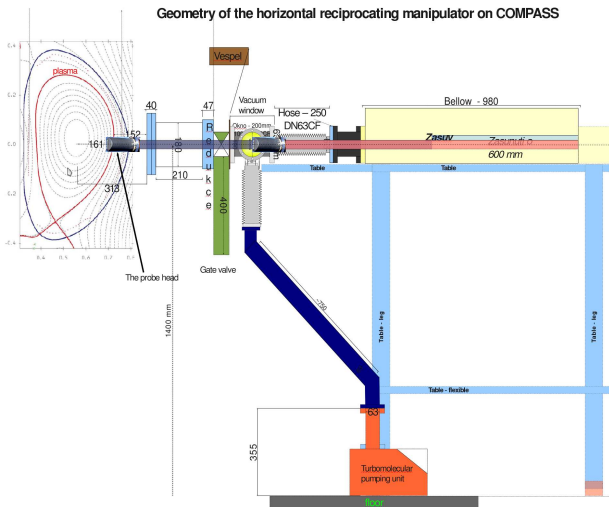
- Lagmuirova sonda - kus vodiče vnořeného do plazmatu
- Měření: elektrického potenciálu  $\Phi$  a teploty elektronů  $T_e$
- Sonda by svými rozměry neměla ovlivňovat srážkovost plazmatu
- Elektronový proud je funkcí teploty  $I_e = I_{e0} \exp(-e \frac{\Phi - U}{kT_e})$



Nízké tepelné toky - hřebínková sonda (napevno umístěna v plazmatu)



## Vysoké tepelné toky - recipročná sonda



# Mikrovlnná diagnostika

## Mikrovlnná radiometrie

- $\omega \approx B_t, I(\omega) \approx \omega^2 T_e$

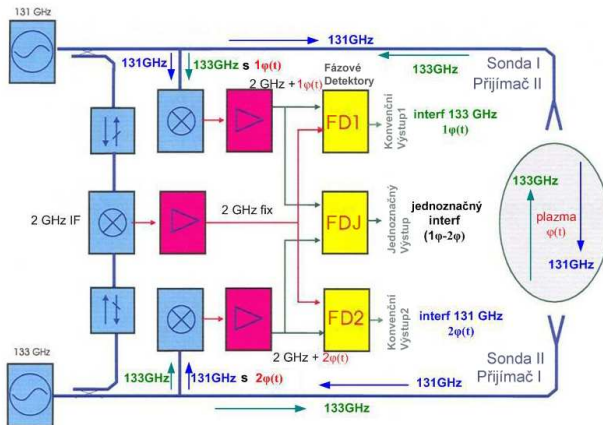
## Mikrovlnná interferometrie

- Změna fáze elmag. vlny v důsledky změny indexu lomu
- Index lomu plazmatu je funkcí elektronové hustoty
- Porovnáním referenčního signálu a signálu prošlého plazmatem je možné určit elektronovou hustotu
- Vlna se musí šířit plazmatem. Frekvence signálu  $> 100$  GHz

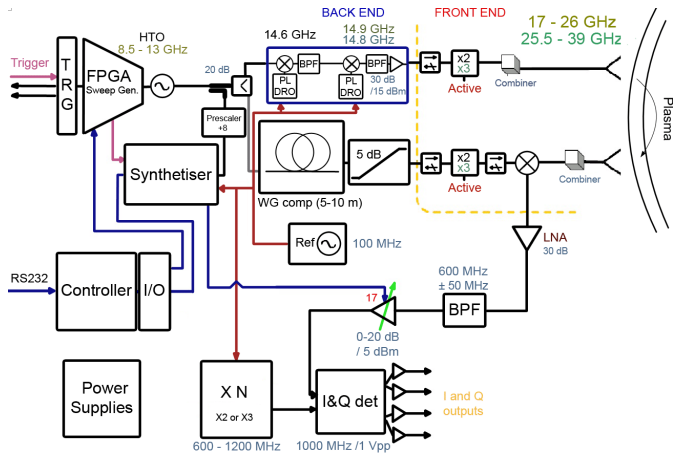
## Mikrovlnná reflektometrie

- Plazmová frekvence  $\omega_p$  je harmonická oscilace elektronů při poruše nábojové rovnováhy plazmatu
- Odraz vln s frekvencí nižší než plazmová frekvence  $\omega < \omega_p$ .
- Pomocí rychlého rozmítání frekvence je dosaženo proskenování hustoty plazmatu. Frekvence signálu  $\approx 10$  GHz

# Mikrovlnná interferometrie

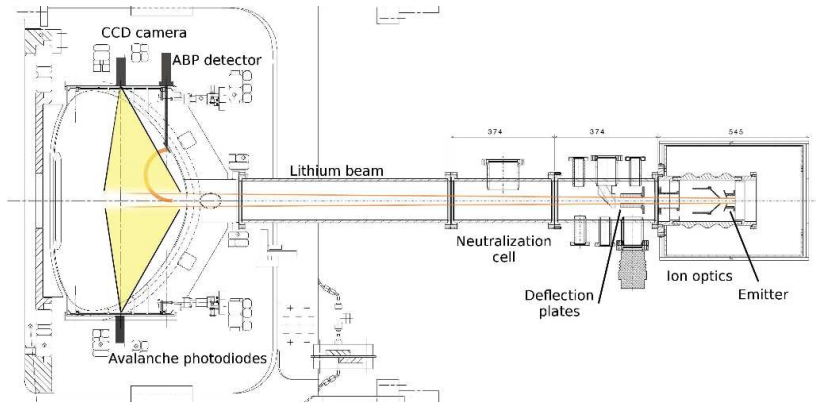


# Mikrovlnná reflektometrie

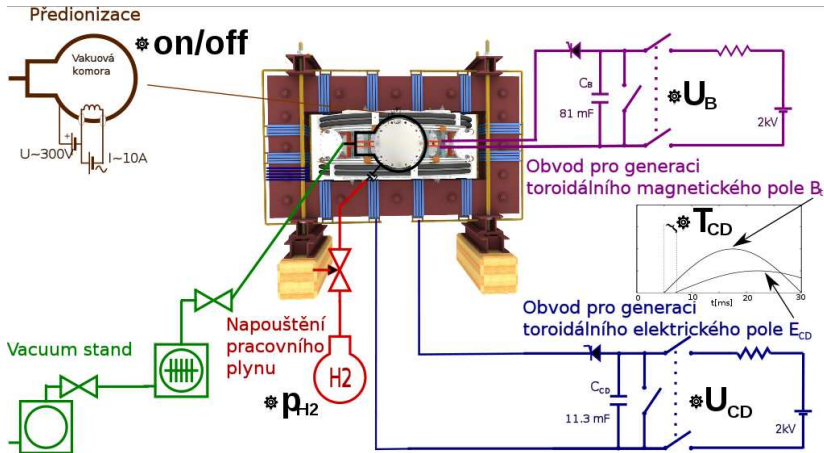


## Lithiový svazek

- Intenzita záření excitovaných lithiových atomů je funkcí hustoty plazmatu



# Postup měření



Scénář provedení výboje:

- 1 Vyčerpání komory na tlak  $\approx 1$  mPa
- 2 Napuštění pracovního plynu (doporučené hodnoty  $p_H \in (8, 15) Pa$ )
- 3 Zapnutí předionizace
- 4 Iniciovat toroidální magnetické pole  $B_t$  ( $U_B < 1300V$ )
- 5 Iniciovat toroidální elektrické pole  $E_T$  ( $U_{CD} < 600V$ ,  
 $T_{CD} \in (0, 10)ms$ )

- 1) V laboratoři tokamaku se seznamte fyzicky s tokamakem GOLEM a zmapujte na něm jeho základní prvky.  
Prověřte funkci jednotlivých komponent infrastruktury tokamaku:
  - 1 vypněte a zapněte čerpání tokamaku,
  - 2 napuštěte do tokamaku pracovní plyn,
  - 3 vyzkoušejte předionizační trysku.
- 2) Osad'te tokamak základními diagnostickými prostředky (drát na měření napětí na závit, cívečka měření toroidálního magnetického pole, Rogowského pásek pro měření  $I_p$  a fotodiodu s  $H_\alpha$  filtrem), napojte vše na 4-kanálový osciloskop Tektronix a zaznamenávejte časové vývoje signálů jednotlivých diagnostik.

## 3) Proved'te následující seznamovací experimenty

- 3.1) Vygenerujte na tokamaku samostatné toroidální elektrické pole  $E_t$  a zaznamenejte časový průběh napětí na závit  $U_I(t)$ . Z jeho průběhu a signálu z Rogovského pásku  $I_{tot}(t)$  odhadněte z Ohmova zákona v prvním přiblížení odpor komory  $R_{ch}$  se zanedbáním její indukčnosti.
- 3.2) Vygenerujte na tokamaku samostatné toroidální magnetické pole  $B_t$  a zaznamenejte časový průběh napětí na měřící cívce  $U_B(t)$ .
- 3.3) Vytvořte komplexní zadání pro výboj. Z napětí na závit  $U_I(t)$  a průběhu proudu na Rogovského pásku  $I_{tot}(t)$  vypočítejte časový vývoj proudu plazmatem  $I_p(t)$  se zanedbáním jeho indukčnosti. Následně znázorněte časový vývoj elektronové teploty  $T_e(t)$ .

- 4) Proveďte 10 výbojů, ve kterých se budete snažit pokrýt maximálně prostor parametrů (zadávejte co nejpestřejší spektrum parametrů výbojů), přičemž se pokuste dosáhnout co nejvyšší elektronové teploty.
- 5) Vytvořte tabulku 5 výstřelů s nejvyšší  $T_e$  a u každého uveďte vámi vypočtené parametry: délku výboje, maximální proud plazmatem, maximální elektronovou teplotu, maximální ohmický příkon, maximální energii plazmatu a dobu udržení v době maxima energie plazmatu.

Všechny závislosti získané z improvizované diagnostiky srovnávejte s původním diagnostickým osazením tokamaku GOLEM.

Veškeré informace dostupné na:

<http://golem.fjfi.cvut.cz/wiki/SW/gnuplot/training/index>

Předpoklady:

Linux: mít nainstalovány gnuplot a wget

Windows: mít nainstalovány gnuplot pro Windows a wget pro Windows